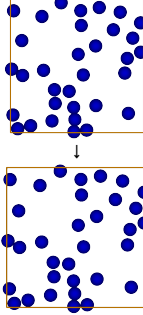


|  |  |
|--|--|
| <h3>Mechanické veličiny</h3> <p>Teplota (NVE MD):</p> $T_{\text{kin}} = \frac{E_{\text{kin}}}{f k_B / 2}$ <p>značení zde:<br/> <math>U = U(r^N)</math> = potenciál<br/> <math>E = E(T, V)</math> = vnitřní energie<br/> <math>f</math> = počet stupňů volnosti</p> <p>Vnitřní energie:</p> $E = (E_{\text{kin}} + U) \stackrel{NVT}{=} \frac{f}{2} k_B T + \langle U \rangle \equiv E_{\text{id}} + E_{\text{res}}$ <p>res = reziduální (viz následující strana)</p> <p>Tlak</p> $p = \frac{N}{V} k_B T - \left( \left( \frac{\partial U(V^{1/3} \xi_i)}{\partial V} \right)_{\xi_i} \right) \equiv p_{\text{id}} + p_{\text{res}}$ <p>- bezrozměrné (škálované) proměnné <math>\xi_i</math>: <math>\vec{r}_i = V^{1/3} \vec{\xi}_i</math><br/> - červenou derivaci počítáme za konstantních <math>\xi_i^N</math>, celá konfigurace se rovnoměrně srdce nebo naafoukne<br/> - <math>p_{\text{id}}</math> = kinetický příspěvek (= ideální plyn), též <math>p_{\text{id}} = \phi/2 E_{\text{kin}}/3V</math>, kde v periodických okr. p. <math>\phi = N/(N-1)</math> zohledňuje 3 nulové zachovávající se složky hybnosti<br/> - <math>p_{\text{res}}</math> = kohezní příspěvek</p> | <h3>Tenzor tlaku</h3> <p>Též tenzor napětí (v pevných látkách):</p> $\vec{P} = \vec{P}_{\text{id}} + \vec{P}_{\text{res}} = \frac{1}{V} \sum_{i=1}^N (\phi m_i \vec{v}_i \vec{v}_i + \vec{J}_i \vec{r}_i)$ <p>Tenzorový součin <math>\vec{T} = \vec{u} \vec{v}</math>, též se značí <math>\vec{T} = \vec{u} \otimes \vec{v}</math>: <math>T_{ab} = v_a v_b</math>.</p> <p><math>\phi = N/(N-1)</math> zohledňuje 3 nulové zachovávající se složky hybnosti v periodických okr. podm.</p> <p>Skalární tlak je 1/3 stopy, <math>p = \text{tr}(\vec{P})/3</math>.</p> <p>V modelech s pevnými vazbami musí zahrnovat viriál vazebních sil. Ty závisí na rychlostech.</p> <p>Diagonální členy jsou dobré k výpočtu povrchového napětí.</p> <p>Nediagonální členy jsou dobré k výpočtu viskozity.*</p> <p>Lze počítat také metodou virtuální změny objemu:<br/> - protáhnutí v <math>\hat{x}</math> → <math>P_{xx}</math>,<br/> - změna tvaru simulacní buňky ⇒ nediagonální členy.</p> <p>*Kupodivu i diagonální členy se dají k výpočtu viskozity použít.</p>   |
| <h3>Odrození vzorce pro tlak v NPT souboru</h3> $dF = -SdT - pdV \quad (X) = \frac{1}{Q_N} \int_{V^N} X(r^N) \exp[-\beta U(r^N)] dr^N$ $p = -\left( \frac{\partial F}{\partial V} \right)_T, \quad F = -k_B T \ln \frac{Q_N}{N! \Lambda^{3N}}$ $Q_N = \int_{V^N} \exp[-\beta U(r^N)] dr^N \stackrel{r_i = V^{1/3} \xi_i}{=} \int_{\xi^N} \exp[-\beta U(V^{1/3} \xi_i)] V^N d\xi^N$ $p = -\left( \frac{\partial F}{\partial V} \right)_T = k_B T \left( \frac{\partial \ln Q_N}{\partial V} \right)_{\xi^N} = \frac{k_B T}{Q_N} \left( \frac{\partial Q_N}{\partial V} \right)_{\xi^N}$ $= \frac{k_B T}{Q_N} \int_{\xi^N} \exp[-\beta U(V^{1/3} \xi_i)] NV^{N-1} d\xi^N$ $+ \frac{k_B T}{Q_N} \int_{\xi^N} \exp[-\beta U(V^{1/3} \xi_i)] (-\beta) \left( \frac{\partial U(V^{1/3} \xi_i)}{\partial V} \right)_{\xi^N} V^N d\xi^N$ $= \frac{N}{V} k_B T - \left( \left( \frac{\partial U(V^{1/3} \xi_i)}{\partial V} \right)_{\xi^N} \right) = \begin{cases} \text{ideální část (kinetická)} \\ \text{reziduální část (kohezní)} \end{cases}$   | <h3>Povrchové napětí kapalin</h3> <p>V uspořádání vrstvy (slab geometry) – protažený periodický box (2:1 či více)</p> $\gamma = \left( \frac{\partial V}{\partial A} \right)_{V,T} = \left( \frac{\partial G}{\partial A} \right)_{P,T} = -\frac{1}{4} L_z P_t, \quad \text{kde } P_t = P_{xx} + P_{yy} - 2P_{zz}$ <p>Je to „mechanická veličina“.</p> <p>Nelze tak počítat mezikálovou energii krystalů (to je „entropická veličina“).</p> <p>Korekce na useknutí potenciálu – několik variant (cf. simen09).</p> <p><math>P_{zz}</math> = tlak nasycených par;<br/> je-li dost malý, <math>P_{xx}, P_{yy}</math> lze nahradit obvyklým tlakem <math>p</math>.</p> <p>Alternativa: virtuální změna povrchu [Gloor et al.: JCP 123, 134703 (2005)]: přeskálujeme <math>\hat{x}</math>, <math>\hat{y}</math> a v opačném poměru na druhou <math>\hat{z}</math>, takže objem se zachová:</p> $\gamma = \left( \frac{\delta U}{\delta A} \right)_V$    |
| <h3>Reziduální veličiny</h3> <p>= vzhledem ke standardnímu stavu ideální plyn při stejně teplotě, stejném objemu (= stejně hustotě) i stejném složení jako daný systém. Užitečné v kanonickém (NVT) souboru.</p> <p>někdy "excess"; pro Gibbsovu energii solvatace či <math>\mu</math> rozpuštění též "Ben-Naimův standardní stav"</p> <p>Pro Helmholtzovu energii: <math>\text{ideální plyn: } Q_N = VN</math></p> $F = -k_B T \ln Z_N = -k_B T \ln \frac{Q_N}{N! \Lambda^{3N}} = -k_B T \ln \frac{V^N}{N! \Lambda^{3N}} - k_B T \ln \frac{Q_N}{V^N} \equiv F_{\text{id}} + F_{\text{res}}$   | <h3>Fluktuační veličiny</h3> <p><math>(\Delta X)^2 = \text{Var } X = (\text{střední kvadratická})</math> fluktuaace = rozptyl = variance<br/> fluktuaace = (mech/el/... veličina)' = (termodynamický potenciál)''</p> <p><math>\Delta X = X - \langle X \rangle</math></p> <p><b>Méně přesné než střední hodnoty!</b> Částečný výjimka: když znám střední hodnotu (např. je 0). Např. (NVT): <math>p = -\left( \frac{\partial F}{\partial V} \right)_T, E = \left( \frac{\partial \beta F}{\partial \beta} \right)_V</math></p> <p>Teplelná kapacita za konst. <math>[V]</math>:</p> $C_V = \left( \frac{\partial E}{\partial T} \right)_V = \frac{1}{k_B T^2} \text{Var } E = \frac{1}{k_B T^2} ((\Delta E_{\text{kin}} + \Delta U)^2)$ $\text{Cov}(U, E_{\text{kin}}) = (\Delta U \Delta E_{\text{kin}}) = 0, \quad \text{Var } E_{\text{kin}} = \frac{f}{2} (k_B T)^2 \text{ (viz cvičení)}$ $C_V = \frac{1}{k_B T^2} \left( \left( \frac{fk_B}{2} + \Delta U \right)^2 \right) = \frac{fk_B}{2} + \frac{1}{k_B T^2} ((\Delta U)^2) \equiv C_{V,\text{id}} + C_{V,\text{res}}$ <p>Izotermická kompresibilita (stlačitelnost) – v NPT souboru:</p> $\kappa = -\frac{1}{V} \left( \frac{\partial V}{\partial p} \right)_T = \frac{((\Delta V)^2)}{V k_B T}$ <p>Permitivitu lze počítat z fluktuaace dipolového momentu buňky, <math>(M^2)</math>, (více později).</p> |
| <h3>Opakování:</h3> <p>de Broglieova tepelná vlnová délka:</p> $\Lambda = \frac{\hbar}{\sqrt{2 \pi m k_B T}}$ <p>chemický potenciál ideálního plynu:</p> $\mu_{\text{id}} = \left( \frac{\partial F_{\text{id}}}{\partial N} \right)_{T,V} = k_B T \ln \frac{N \Lambda^3}{V}$  | <h3>Cvičení</h3> <p>Vypočtěte <math>(E_{\text{kin}})</math> a <math>\text{Var}(E_{\text{kin}})</math> pro jeden stupeň volnosti, tj. <math>E_{\text{kin}} = \frac{1}{2} m v^2</math>.</p> <p><math>E_{\text{kin}} = \frac{1}{2} m v^2</math></p> $\pi(v) = \frac{\exp(-\frac{1}{2} m v^2 / k_B T)}{\int \exp(-\frac{1}{2} m v^2 / k_B T) dv}$ $(E_{\text{kin}}) = \int E_{\text{kin}} \pi(v) dv$ $\text{Var}(E_{\text{kin}}) = \int (E_{\text{kin}} - (E_{\text{kin}}))^2 \pi(v) dv$ $= \frac{1}{2} (k_B T)^2$ <pre> &gt; restart; &gt; assume(m=0, k=0, T=0); &gt; K:=B*sqrt(2); kt:=k*T; &gt; inorm:=int(exp(-K/kT), v=-infinity..infinity); inorm := (sqrt(k*T - B*v^2)/sqrt(m*k*T)); &gt; averK:=int(K*exp(-K/kT), v=-infinity..infinity)/inorm; averK := 1/2*k*T; &gt; fluctK:=int((K-averK)^2*exp(-K/kT), v=-infinity..infinity)/inorm; fluctK := 1/2*k*T^2; </pre>  |
| <h3>Tlak – virtuální změna objemu</h3> $p = \frac{N}{V} k_B T - \left( \left( \frac{\partial U(V^{1/3} \xi_i)}{\partial V} \right)_{\xi_i} \right)$ <p><b>Numerická derivace</b> (pro vybranou sérii konfigurací)</p> $\frac{\partial U}{\partial V} = \frac{U(V + \Delta V) - U(V)}{\Delta V} + \mathcal{O}(\Delta V) \equiv \frac{U(\vec{v}_1, \dots, \vec{v}_N) - U(\vec{v}_1, \dots, \vec{v}_N)}{\Delta V} + \mathcal{O}(\Delta V)$ $\frac{\partial U}{\partial V} = \frac{U(V + \Delta V) - U(V - \Delta V)}{2 \Delta V} + \mathcal{O}(\Delta V^2)$ <p><b>Implementace:</b> <math>U(V + \Delta V)</math> znamená naafouknutí celé konfigurace (všech vzdáleností) ve stejném poměru; u molekul vzhledem k referenčnímu bodu (pak <math>N</math> je počet molekul):</p> $\left( \frac{V + \Delta V}{V} \right)^{1/3}$ <p>Přeškálovaná konfigurace je jen pomocná pro výpočet, není součástí trajektorie.</p> <p>Pro modely s tuhým jádrem takové, že při naafouknutí boxu nemůže dojít k překryvu, lze použít sdrčnutí: <math>P = N k_B T / V + \frac{k_B T}{\Delta V} (e^{-[U(V + \Delta V) - U(V)]/k_B T} + \mathcal{O}(\Delta V))</math></p>                                | <h3>Tlak z viriálu sily</h3> <p><b>Expandujeme derivaci:</b></p> $\frac{\partial U(V^{1/3} \xi_i)}{\partial V} = \sum_{i=1}^N \frac{1}{3} V^{-2/3} \xi_i \cdot \frac{\partial U}{\partial \vec{r}_i} = \frac{1}{3V} \sum_{i=1}^N \vec{r}_i \cdot \vec{J}_i$ <p>Výsledek:</p> $p = \frac{N}{V} k_B T + \frac{1}{3V} (W_f), \quad W_f = - \sum_{i=1}^N \vec{r}_i \cdot \frac{\partial U}{\partial \vec{r}_i} = \sum_{i=1}^N \vec{r}_i \cdot \vec{J}_i \quad (\text{viriál síly})$ <p>... nelze přímo použít v periodických okrajových podmínkách</p> <p>• Párově additivní síly v periodických okrajových podmínkách:</p> $p = \frac{N}{V} k_B T - \frac{1}{3V} \sum_{i,j} \langle r_{ij} u'(r_{ij}) \rangle \equiv p_{\text{id}} + p_{\text{res}}$ <p>• Pro molekulové modely lze využít z atomů (<math>N</math> = počet atomů/interakčních center) nebo z (zpravidla těžišť) molekul (<math>N</math> = počet molekul). Vzorce se ovšem liší.</p>   |
| <h3>Tepelná kapacita Cv z NVE souboru</h3> <p>V kanonickém souboru:</p> $\text{Var } X = k_B T^2 \frac{\partial X}{\partial T} \equiv k_B T^2 X' \quad (X = U, E_{\text{kin}})$ $\text{Cov}(U, E_{\text{kin}}) = 0$ $C_V = U' + E'_{\text{kin}}, \quad E'_{\text{kin}} = \frac{fk_B}{2}$ <p>Nenormalizované pravděpodobnostní rozložení pro jistou teplotu <math>T</math>:</p> $w(U, E_{\text{kin}}) \sim \exp \left[ -\frac{(\delta U)^2}{2 \text{Var } U} - \frac{(\delta E_{\text{kin}})^2}{2 \text{Var } E_{\text{kin}}} \right]$ <p>kde odchyly linearizujeme: <math>(U, E_{\text{kin}}) = (U_0 + \delta U, E_{\text{kin}}_0 + \delta E_{\text{kin}})</math></p> <p>Nenormalizované pravděpodobnostní rozložení s uvažováním změny teploty, <math>T = T_0 + \delta T</math>:</p> $w(T, U, E_{\text{kin}}) \sim \exp \left[ -\frac{(\delta U - \delta U')^2}{2 \text{Var } U} - \frac{(\delta E_{\text{kin}} - \delta E'_{\text{kin}})^2}{2 \text{Var } E_{\text{kin}}} \right]$   | <h3>Tepelná kapacita Cv z NVE souboru</h3> <p><b>+ 10/37</b></p> <p><b>+ 9/37</b></p> <p><b>+ 8/37</b></p> <p><b>+ 7/37</b></p>  |

## Tepelná kapacita $C_V$ z NVE souboru II

+ 11/37  
s07/4

V MD NVE souboru je  $U + E_{\text{kin}} = E = \text{const}$  nebo  $U = E - E_{\text{kin}}$  a ovšem  $\delta E_{\text{kin}} = -\delta U$ , takže stačí závislost (třeba) na  $E_{\text{kin}}$ :

$$w(T, E_{\text{kin}}) \sim \exp \left[ -\left( \frac{1}{2k_B T^2 U'} + \frac{1}{2k_B T^2 E'_{\text{kin}}} \right) \delta E_{\text{kin}}^2 - \left( \frac{U'}{2k_B T^2} + \frac{E'_{\text{kin}}}{2k_B T^2} \right) \delta T^2 \right]$$

kde jsme variance nahradili derivacemi podle (1).

Pozn.: člen  $\delta E_{\text{kin}} \delta T$  vypadne!

Z členu u  $\delta T^2$ :

$$\text{Var } T = \frac{k_B T^2}{U' + E'_{\text{kin}}} = \frac{k_B T^2}{C_V}$$

což je známý výraz pro fluktuaci teploty v NVE souboru, ale teplota zde **není** kinetická teplota, nýbrž  $T$  ve vztahu  $dE = TdS$  [V]. Střední teplota je stejná, ne však fluktuace.

## Tepelná kapacita $C_V$ z NVE souboru III

+ 12/37  
s07/4

Z členu u  $\delta E^2$ :

$$\text{Var } E = \text{Var } U = \text{Var } E_{\text{kin}} = \frac{k_B T^2}{1/U' + 1/E'_{\text{kin}}} = \frac{k_B T^2}{1/(C_V - E'_{\text{kin}}) + 1/E'_{\text{kin}}}$$

a protože  $E'_{\text{kin}}$  známe

$$C_V = \frac{fk}{2} \left[ \left( \frac{2T^2}{f \text{Var } T_{\text{kin}}} - 1 \right)^{-1} + 1 \right]$$

kde  $T_{\text{kin}} \equiv E_{\text{kin}}/(fk/2)$  je kinetická teplota

Což budeme počítat takto:

$$C_V = \frac{fk}{2} \left[ \left( \frac{2(T_{\text{kin}})^2}{f(\Delta T_{\text{kin}})^2} - 1 \right)^{-1} + 1 \right]$$

## Příklady

• Pro  $\lambda = \beta$  dostaneme jako minule:

$$\beta_1 F_{\text{res}}(\beta_1) - \beta_0 F_{\text{res}}(\beta_0) = \int_{\beta_0}^{\beta_1} \langle U \rangle d\beta$$

• Integrace z Einsteinova krystalu do reálného krystalu.

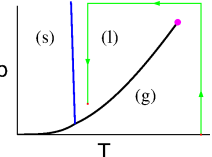
Einsteinův krystal = nezávislé harmonické oscilátory ve vrcholech mřížky; v klasických simulacích jsou ovšem oscilátory klasické.

Jsou menší (ale řešitelné) problémy, když se krystal z mřížky „utrhe“.

• Integrace z ideálního plynu okolo kritického bodu do kapaliny. Protože plyn je pro malou hustotu singulární, jeden z integrálů je (pro NPT):

$$\ln \phi = \frac{\mu - \mu^\circ}{RT} = \int_0^P \left( V_m - \frac{RT}{P} \right) dP$$

Pro malé tlaky pomůže viriálová stavová rovnice.



## Tepelná kapacita $C_V$ z NVE souboru III

+ 12/37  
s07/4

Z členu u  $\delta E^2$ :

$$\text{Var } E = \text{Var } U = \text{Var } E_{\text{kin}} = \frac{k_B T^2}{1/U' + 1/E'_{\text{kin}}} = \frac{k_B T^2}{1/(C_V - E'_{\text{kin}}) + 1/E'_{\text{kin}}}$$

a protože  $E'_{\text{kin}}$  známe

$$C_V = \frac{fk}{2} \left[ \left( \frac{2T^2}{f \text{Var } T_{\text{kin}}} - 1 \right)^{-1} + 1 \right]$$

kde  $T_{\text{kin}} \equiv E_{\text{kin}}/(fk/2)$  je kinetická teplota

Což budeme počítat takto:

$$C_V = \frac{fk}{2} \left[ \left( \frac{2(T_{\text{kin}})^2}{f(\Delta T_{\text{kin}})^2} - 1 \right)^{-1} + 1 \right]$$

## Neboltzmannovské vzorkování

17/37  
s07/4

Chceme  $\langle \beta U \rangle_1$ , ale simulujeme  $\langle \beta U \rangle_0$  (měníme  $\beta/U$  oboje):

$$\Delta(\beta U) = \langle \beta U \rangle_1 - \langle \beta U \rangle_0 \\ \langle X \rangle_{\langle \beta U \rangle_1} = \frac{\int X e^{-\langle \beta U \rangle_1} dP^N}{\int e^{-\langle \beta U \rangle_1} dP^N} = \frac{\int X e^{-\langle \beta U \rangle_0} e^{-\Delta(\beta U)} dP^N}{\int e^{-\langle \beta U \rangle_0} e^{-\Delta(\beta U)} dP^N} = \frac{\langle X e^{-\Delta(\beta U)} \rangle_0}{\langle e^{-\Delta(\beta U)} \rangle_0}$$

Helmholtzova energie

$$\Delta(\beta_{\text{Fres}}) = \beta_1 F_{\text{res}}(\langle \beta U \rangle_1) - \beta_0 F_{\text{res}}(\langle \beta U \rangle_0) \\ = -\ln \left( \frac{Q_1}{Q_0} \right) = -\ln \left( \frac{\int e^{-\langle \beta U \rangle_1} dP^N}{\int e^{-\langle \beta U \rangle_0} dP^N} \right) \\ = -\ln \left( \frac{\int e^{-\langle \beta U \rangle_0} e^{-\Delta(\beta U)} dP^N}{\int e^{-\langle \beta U \rangle_0} dP^N} \right) = -\ln \langle e^{-\Delta(\beta U)} \rangle_0 \\ = \ln \langle e^{+\Delta(\beta U)} \rangle_1$$

kde poslední rovnice vyplývá ze záměny  $0 \leftrightarrow 1$

<sup>†</sup> Asi Zwanzig (1954) "thermodynamic perturbation method", dnes (nepřesně) zahrnuto pod "umbrella sampling"

## Entropické veličiny

13/37  
s07/4

Tím mírníme  $F$ ,  $G$  ( $\Leftarrow$  partiční funkce),  $S$  ( $\Leftarrow$  počet stavů  $W$ ),  $\mu$ ,  $\Delta G, \dots$

**Použití:** rovnováhy obecně; rozpustnost, vazba ligand-receptor, stabilita biomolekul, ...

• metoda termodynamické integrace:

• přes reálné veličiny ( $T, V, P$ )

• přes zapojovací parametr

• výpočet reverzibilní práce integrací síly

• Widomova metoda vkládání částice; postupné vkládání, alchymistická transmutace

• neboltzmannovské vzorkování:

• deštníkové vzorkování (umbrella sampling)

• multiple histogram reweighting

• metadynamika/Wang-Landau

• metoda lokální hustoty

Formálně (pro konfigurační integrál):

$$Q = \frac{\int e^{-\beta U} dP^N}{1} \\ = \frac{\int e^{-\beta U} dP^N}{V^{-N} \int e^{-\beta U} e^{-\beta U} dP^N} = \frac{V^N}{\langle e^{\beta U} \rangle} \\ \dots \text{naprosto nepoužitelné}$$

## Neboltzmannovské vzorkování II

18/37  
s07/4

•  $\Delta(\beta U)$  nesmí být příliš velké

$$e^x = 1 + x + \dots$$

• pro infinitezimálně malé  $\Delta(\beta U)$  dostaneme termodynamickou integraci:

$$\Delta(\beta_{\text{Fres}}) = -\ln \langle e^{-\Delta(\beta U)} \rangle_0 \\ \approx -\ln(1 - \Delta(\beta U))_0 \\ = -\ln(1 - \langle \Delta(\beta U) \rangle_0) \\ \approx \langle \Delta(\beta U) \rangle \\ \Rightarrow \partial(\beta_{\text{Fres}})/\partial \lambda = (\partial \Delta(\beta U)/\partial \lambda)_\lambda$$



<https://positiveoutlooksblog.com/2015/01/30/surviving-the-storm-together/>

## Metoda termodynamické integrace

14/37  
s07/4

Fyzikální chemie:  $dF = -SdT - pdV$ ,  $dG = -SdT + Vdp$

$U = U(r^N)$  = potenciální energie  
 $E = E(T, V)$  = vnitřní energie

Kanonický soubor ( $\beta = 1/k_B T$ ):

$$\left( \frac{\partial F}{\partial V} \right)_T = -p \Rightarrow F_1 - F_0 = - \int_{V_0}^{V_1} p dV, \quad \left( \frac{\partial (F/T)}{\partial \beta} \right)_V = E \text{ nebo } \left( \frac{\partial (\beta F_{\text{res}})}{\partial \beta} \right)_V = \langle U \rangle$$

• Integrujeme numericky – musíme stanovit  $p, E$  v mnoha bodech

• Začínáme z vhodného referenčního stavu (známý stav, ideální plyn, harmonický krystal)

Důkaz # 1 vzorce  $\frac{\partial(F/T)}{\partial \beta} = E$ :

$$\frac{\partial(F/T)}{\partial \beta} = \frac{\partial(F/T)}{\partial(1/T)} / \frac{\partial(1/T)}{\partial T} = -ST - F = \frac{-ST - F}{T^2} = ST + F = E$$

Důkaz # 2 vzorce  $\frac{\partial(\beta F)}{\partial \beta} = E$ :

$$\frac{\partial(\beta F)}{\partial \beta} = -\frac{\partial \ln Z}{\partial \beta} = -\frac{1}{Z} \frac{\partial Z}{\partial \beta} = -\frac{\partial \sum_\psi e^{-\beta \varepsilon(\psi)} / \partial \beta}{\sum_\psi e^{-\beta \varepsilon(\psi)}} = -\frac{\sum_\psi [-\varepsilon(\psi) e^{-\beta \varepsilon(\psi)}]}{\sum_\psi e^{-\beta \varepsilon(\psi)}} = \langle \varepsilon \rangle = E$$

## Integrace přes zapojovací parametr

15/37  
s07/4

Uvažujeme libovolnou závislost  $\langle \beta U \rangle(\lambda)$ , např.:

$$\langle \beta U \rangle(\lambda) = \begin{cases} \beta[U_0 + \lambda(U_1 - U_0)] & \lambda = \text{zapojovací (coupling) parametr}, \lambda \in [0, 1] \\ \lambda U & \lambda \equiv \beta: \text{viz předešlo stránka} \end{cases}$$

$$\Rightarrow \frac{\partial \beta F_{\text{res}}}{\partial \lambda} = -\frac{1}{Q} \int \frac{\partial e^{-\beta U}}{\partial \lambda} dP^N = \frac{1}{Q} \int \frac{\partial \langle \beta U \rangle(\lambda)}{\partial \lambda} e^{-\beta U} dP^N = \left\langle \frac{\partial \langle \beta U \rangle(\lambda)}{\partial \lambda} \right\rangle_\lambda$$

$$\langle \beta F_{\text{res}} \rangle(\lambda_1) = \langle \beta F_{\text{res}} \rangle(\lambda_0) + \int_{\lambda_0}^{\lambda_1} \left\langle \frac{\partial \langle \beta U \rangle(\lambda)}{\partial \lambda} \right\rangle_\lambda d\lambda$$

kde  $\langle \cdot \rangle_\lambda$  = střední hodnota v souboru (simulaci) s potenciálem  $U(\lambda)$

**Způsob integrace:**

• Několik diskrétních hodnot  $\lambda_i$ :

• nafitujeme na vhodnou funkci a tu zintegrujeme

• použijeme metodu numerické kvadratury, např. Simpsonův vzorec (body s větší váhou simulujeme úměrně déle)

• Malá změna  $\lambda$  v každém MD kroku (systém je téměř v rovnováze) + integrace

## Detour: Density of states for a particle in a box

19/37  
s07/4

One particle in 1D in a box of length  $L$ , energies of eigenstates according to the Schrödinger equation:

$$E_n = \frac{n^2 h^2}{8L^2} \propto n^2, \quad n = 1, 2, \dots$$

Let's have  $f = 3N$  such degrees of freedom. The number of states  $\#(E)$  with energy less than  $E$  satisfies the equation

$$n_1^2 + n_2^2 + \dots + n_f^2 < E = [E^{1/2}]^2$$

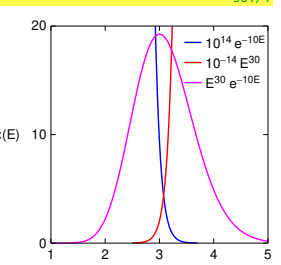
For large  $E$ ,  $\#(E) = 1/2^f$  of the volume of the  $E^{1/2}$ -ball in the  $f$ -dimensional space:

$$\#(E) = \frac{\pi^{f/2} E^{f/2}}{\Gamma(f/2 + 1)} \propto E^{f/2} \Rightarrow D(E) = \frac{d\#(E)}{dE} \propto E^{f/2 - 1}$$

$$\pi(E) = D(E) e^{-\beta E}$$

The Boltzmann factor  $e^{-\beta E}$  eventually wins!

For large  $N$ , the product converges to a Gaussian with  $\text{Var}(E) \propto f \propto N$  ( $\sigma = N^{1/2}$ )



## Multiple histogram reweighting II

+ 21/37  
s07/4

In the simulation, we calculate the histogram  $h_i(E)$  for a set of (equidistant) energies  $E$ , or some equivalent Gaussian-based  $\delta$ -function approximation. We will use the normalized histogram and the  $\int$ -form. (To repeat, subscript  $i$  refers to  $T_i$ .)

$$\sum_E h_i(E) = \int h_i(E) dE = 1$$

$$h_i(E) = \frac{D(E)e^{-\beta_i E}}{\int D(E)e^{-\beta_i E} dE} = D(E)e^{-\beta_i(E-F_i)}$$

Using one temperature only but  $F_i$  is not known (yet):

$$D(E) = h_i(E)e^{\beta_i(E-F_i)} \quad (2)$$

- We will average  $D(E)$  from several simulations at different temperatures.
- $D(E)$  does not depend on  $T_i$ , but our calculation does  $\pm$  statistical errors.
- At different  $T_i$  different ranges of  $E$  are sampled.

⇒ We compose the total  $D(E)$  from all data:

$$D(E) = \sum_i w_i(E) h_i(E) e^{\beta_i(E-F_i)}, \quad \sum_i w_i(E) = 1$$

## Multiple histogram reweighting III

+ 22/37  
s07/4

Determining the weights: minimization of the error  $\delta D(E)$  (or some estimate). Using reasonable assumptions, we get

$$w_i(E) = \frac{N_i h_i(E)}{\sum_j N_j h_j(E)} = \frac{N_i e^{-\beta_i(E-F_i)}}{\sum_j N_j e^{-\beta_j(E-F_j)}}$$

where  $N_i$  is the number of measurements at temperature  $\beta_i$ . ⇒

$$e^{-\beta_i F_i} = \int D(E) e^{-\beta_i E} dE = \int \sum_j w_j(E) h_j(E) e^{\beta_j(E-F_j)} e^{-\beta_i E} dE \\ = \int \frac{\sum_j N_j e^{-\beta_j(E-F_j)} h_j(E) e^{\beta_j(E-F_j)}}{\sum_j N_j e^{-\beta_j(E-F_j)}} e^{-\beta_i E} dE = \int \frac{\sum_j N_j h_j(E) e^{-\beta_j E}}{\sum_j N_j e^{-\beta_j(E-F_j)}} dE$$

can be solved by iterations (self-consistent solution).

$F_i$  are determined but an additive constant,  $D(E)$  but a multiplicative factor

## "Conformational flooding", Wang-Landau, metadynamika

26/37  
s07/4

• Náš systém je definován potenciálem  $U_0(r^N)$

• Kolektivní proměnná  $\lambda = \lambda(r^N)$  popisuje zkoumaný proces, např. reakční koordináta, vzdálost ligand-receptor (příp. orientace) aj.  
Můžeme mít dvě kolektivní proměnné, i více.

• Simulujeme systém s potenciálem  $U(r^N) = U_0(r^N) + \Delta U(\lambda)$ , kde  $\Delta U = 0$  na začátku

•  $\Delta U(\lambda)$  je periodicky aktualizován:

$$\Delta U := \Delta U + \omega \frac{\delta(\lambda)}{h(\lambda)}, \quad \lambda = \lambda(r^N)$$

$\delta$  = approximace  $\delta$ -funkce (MC: chlívek histogramu, lépe a nutně v MD: Gauss)

$\omega$  = dostatečně malý relaxační parametr,  $\omega \ll k_B T$

$h(\lambda)$  = hustota kartézských bodů na hyperpláze  $\lambda$ ; např.,  $h(\lambda) = 4\pi\lambda^2$  for  $\lambda = r_{12}$

⇒ pravděpodobnost návštěvení toho samého  $\lambda$  se opět zmenší

## Multiple histogram reweighting IV

+ 23/37  
s07/4

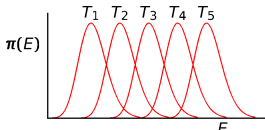
Expectation value at temperature  $\beta$ :

$$\langle X \rangle_\beta = \frac{\int X(E) D(E) e^{-\beta E} dE}{\int D(E) e^{-\beta E} dE} = \frac{\int X(E) \frac{\sum_i h_i(E)}{\sum_j N_j e^{-\beta_j(E-F_j)}} e^{-\beta E} dE}{\int \frac{\sum_i h_i(E)}{\sum_j N_j e^{-\beta_j(E-F_j)}} e^{-\beta E} dE}$$

•  $\int dE$  is over histograms of width  $\Delta E$

• if  $\Delta E$  is very short, all calculated energies are stored and  $\int X(E) h_i(E) dE$  is replaced by a sum of  $E$  over  $h_i(E) = 1/N_i$

•  $\sqrt{\text{Var}[E]/E} \approx N^{-1/2} \Rightarrow \beta_i/\beta_{i+1} \approx 1 \pm N^{-1/2}$  (overlapping distributions)



## "Conformational flooding", Wang-Landau, metadynamika: Case study

plot/metadynamics.sh 1 2 28/37  
s07/4

3D systém, interakční energie:

online simulation is for  $T=1$  K and  $T=2$  K

$$\frac{U_0(x, y, z)}{k_B T} = \phi(x)(y^2 + z^2 + 1), \text{ where } \phi(x) = [(x+1)(x+2)(x-2)(x-4) + 21] e^{(x+1.5)/23}$$

• Bariéra je  $E^*/k_B = 1910$  K,  $e^{-E^*/k_B T} = 10^{-929}$

• Kolektivní proměnná  $\lambda = x$

• Histogram: trojúhelníkový nosič  $\delta(\lambda)$  po 1/100

• Schvárně malý MC krok v  $x$  ( $\approx$  MD)

• Počáteční  $\omega = 0.25k_B T$  se postupně snižuje fine + stop ( $\omega \approx 0 < 0$ ): aaaV in the plot window

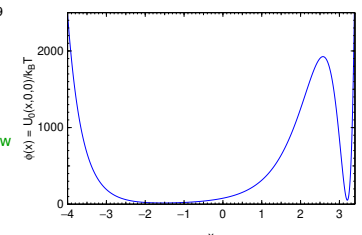
• Zobrazí se grafy:

– v průběhu:  $\Delta U - F_{\text{exact}}$ , kde

$$F_{\text{exact}}(\lambda) = \phi(\lambda) + k_B T \ln(\phi(\lambda))$$

– po přerušení:  $\Delta U$  a  $\phi(x) = U_0(x, 0, 0)$

– porovnání  $F$  a  $F_{\text{exact}}$



Pozn.: V reálných systémech je druhý člen výsledkem mnoha stupňů volnosti, nejen 2 (y, z)

## Parallel tempering (replica exchange)

+ 24/37  
s07/4

k simulacím při teplotách  $\beta_1 < \beta_2 \dots$  provádíme paralelně.

Občas krok prohození 2 subsystémů  $\beta_i, \beta_j$  (normálně  $|i-j|=1$ ) příjmu s pravděpodobností:

$$\min \left\{ 1, \frac{\exp(-\beta_j E_j - \beta_i E_i)}{\exp(-\beta_i E_j - \beta_j E_i)} \right\}$$

• Výhody: snáze překonám bariéru, lepší ergodicita, rychlejší konvergence při nízkých teplotách

• Nevýhody: korelace subsystémů a složitější odhad chyb

## "Conformational flooding", Wang-Landau, metadynamika: Case study

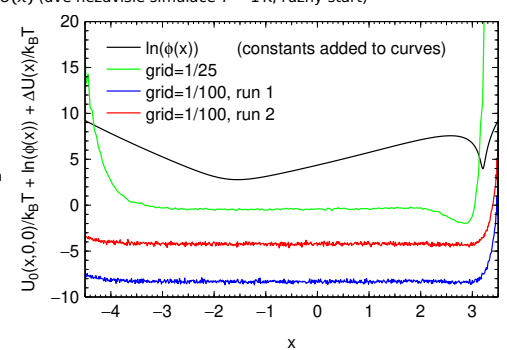
xmaple.../maple/metadynamics-case-study.mw 29/37  
s07/4

Poslední graf ukazuje  $F(x) + \Delta U(x)$  (dvě nezávislé simulace  $T = 1$  K, různý start)

| 1/grid  | $\Delta F/k_B T$ |
|---------|------------------|
| 50      | 37.85(8)         |
| 100     | 40.52(5)         |
| 200     | 40.98(5)         |
| 400     | 41.08(3)         |
| přesně* | 41.13            |

kde  $\Delta F$  je rozdíl mezi pravým a levým bazénem.

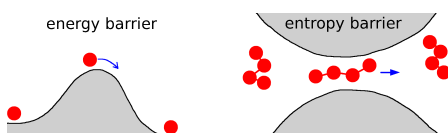
\* viz Maple



## "Conformational flooding", Wang-Landau, metadynamika

25/37  
s07/4

Metoda vhodná pro rychlé překonání bariéry (špatná ergodicita – „hrdlo láhvě“), vč. výpočtu profilu volné energie ( $\Delta F$  nebo  $\Delta G$ ), založená na snižování bariéry.



• (několik předchůdci)

• "Conformational flooding" H. Grubmüller (1995)

• Wang-Landau (MC) F. Wang, D.P. Landau (2001)

• Metadynamika (MD) A. Laio, M. Parrinello (2002)

• Formální ekvivalence C. Junghans, D. Perez, T. Vogel (2014)

## Widomova metoda vkládání částice I

30/37  
s07/4

Otevřený systém:

$$dF = -SdT - PdV + \mu dN$$

$$\beta\mu = \left( \frac{\partial(\beta F)}{\partial N} \right)_{V,T} = - \left( \frac{\partial \ln Z_N}{\partial N} \right)_{V,T}$$

$$\beta\mu_{\text{res}} = \left( \frac{\partial(\beta F_{\text{res}})}{\partial N} \right)_{V,T} = - \left( \frac{\partial \ln Q_N/V^N}{\partial N} \right)_{V,T} \approx - \left( \ln \frac{Q_{N+1}}{V^{N+1}} - \ln \frac{Q_N}{V^N} \right)$$

$$\exp(-\beta\mu_{\text{res}}) = \frac{1}{V} \frac{Q_{N+1}}{Q_N}$$

ještě jednou pro plný chemický potenciál:

$$e^{-\beta\mu} = \frac{Z_{N+1}}{Z_N} = \frac{1}{(N+1)\Lambda^3} \frac{Q_{N+1}}{Q_N} \text{ směs: } e^{-\beta\mu_i} = \frac{Z_{N_1, \dots, N_i+1}}{Z_N} = \frac{1}{(N_i+1)\Lambda_i^3} \frac{Q_{N_1, \dots, N_i+1}}{Q_N}$$

po odečtení  $\mu^{\text{id}} = k_B T \ln \frac{N\Lambda^3}{V}$  dostaneme stejně  $\mu_{\text{res}} = \mu - \mu^{\text{id}}$

## Widomova metoda vkládání částice II

31/37  
s07/4

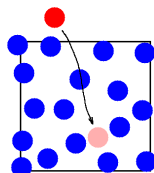
+ 35/37  
s07/4

$$\exp(-\beta\mu_{\text{res}}) = \frac{1}{V} \frac{Q_{N+1}}{Q_N}$$

$$N \rightarrow N+1 \quad U_{N+1} = U_N + \Psi(N)$$

$$\frac{1}{V} \frac{Q_{N+1}}{Q_N} = \frac{1}{VQ_N} \int \exp(-\beta U_N - \beta\Psi) d\vec{r}_1 \dots d\vec{r}_{N+1} = \frac{1}{V} \int \langle e^{-\beta\Psi} \rangle_{N, \text{random}} d\vec{r}_{N+1}$$

$$\exp(-\beta\mu_{\text{res}}) = \frac{1}{V} \int \langle e^{-\beta\Psi} \rangle_N d\vec{r}_{N+1} = \langle \langle e^{-\beta\Psi} \rangle_N \rangle_{\text{random}} d\vec{r}_{N+1}$$



kde  $\frac{1}{V} \int X d\vec{r}_{N+1} = \langle X \rangle_{\text{random}}$  je střední hodnota  $X$  přes polohy  $(N+1)$ -ní částice v objemu  $V$  počítaná MC integrací, tj. vkládáním částice na náhodná místa

•  $(N+1)$ -ní částice neovlivňuje simulaci – je virtuální (fiktivní, ghost)

• Problém: husté systémy, velké rozpuštěnce

Náprava: postupné vkládání

**Podobně:** vkládání rozpuštěnce  $\Rightarrow$  rozpustnost, Henryho konstanta

## Příklad

cd ..;/maple; xmaple simul07+18+Widom.mw 32/37  
s07/4

+ 36/37  
s07/4

Simulovali jsme tekutinu  $N = 500$  atomů Ar (Lennard-Jones:  $\sigma = 3.405 \text{ \AA}$ ,  $\epsilon/k_B = 119.8 \text{ K}$ ) v boxu o objemu  $V = 15.791 \text{ nm}^3$  za teploty  $T = 150 \text{ K}$ . Widomovou metodou jsme spočítali<sup>§</sup>

$$\exp(-\mu_{\text{res}}/k_B T) = 0.749(3)$$

Vypočte  $\mu^*$ , chemický potenciál Ar za výše uvedených podmínek vzhledem ke standardnímu stavu ideální plynu za tlak  $p^{\text{id}} = 1 \text{ bar}$  a za teploty  $T$ .

$$\mu^{\text{id}} = k_B T \ln \frac{N \Lambda^3}{V}$$

**Rada:**  $\mu_{\text{res}} = \mu - \mu^{\text{id}}(T, V)$  ( $N$  částic v objemu  $V$ )

$\mu^* = \mu - \mu^{\text{id}}(T, V^{\text{id}})$  ( $V^{\text{id}}$  = objem ideálního plynu z  $N$  částic za  $T, p^{\text{id}}$ )

$\mu^* = \mu_{\text{res}} + \mu^{\text{id}}(T, V) - \mu^{\text{id}}(T, V^{\text{id}})$

$$= \mu_{\text{res}} + k_B T \ln \frac{N k_B T}{p^{\text{id}} V} = \mu_{\text{res}} + k_B T \ln \frac{N \Lambda^3}{V}$$

$$= \mu_{\text{res}} + k_B T \ln \frac{N \Lambda^3}{V} + \frac{1.4030(8) \times 10^{-20} \text{ J}}{V} = 8.449(5) \text{ J/mol} \cdot \text{K}$$

$$= \mu_{\text{res}} + \frac{1.4030(8) \times 10^{-20} \text{ J}}{V} = 1.3432 \times 10^{-20} \text{ J}$$

$$= \mu_{\text{res}} + \frac{1.3432 \times 10^{-20} \text{ J}}{V} = -T \Delta S$$

$$= \mu_{\text{res}} + \frac{-T \Delta S}{V} = \mu_{\text{res}} + N k_B T / p^{\text{id}} = 10355 \text{ nm}^3$$

$$= \mu_{\text{res}} + N k_B T / p^{\text{id}} = 10355 \text{ nm}^3$$

$$\sigma(\mu_{\text{res}}) = k_B T \times (0.003/0.749) = 8.3 \times 10^{-24} \text{ J} \text{ (std. error)}$$

$$\mu_{\text{res}} = 5.985 \times 10^{-22} \text{ J} \text{ (per molecule)}$$

<sup>§</sup>Hodnoty v závorkách jsou odhadnuté nejistoty v jednotkách poslední uvedené cifry.

## Henryho konstanta

33/37  
s07/4

+ 37/37  
s07/4

Plyn (2) rozpuštěn v kapalině (1), mol. zlomek v kapalině  $x_2 = N_2/(N_1 + N_2)$ ,  $x_2 \ll 1$ .

Jedna z forma vyjádření Henryho zákona pro parciální tlak  $p_2$  plynu (2) v rovnováze s roztokem:

$$p_2 = K_H x_2$$

Virtuálním vkládáním jedné molekuly ( $N_2 = 1$ ) plynu (2) do čisté kapaliny (1) dostaneme reziduální chemický potenciál (2) za molárního zlomku  $x_2 = 1/(N_1 + 1) \approx 1/N_1$ :

$$\left. \begin{aligned} \mu_{\text{res},2} &= \mu_2(x_2) - \mu_2^{\text{id}}(V) \\ \text{V rovnováze platí: } &\mu_{\text{res},2} = k_B T \ln \frac{N_2 \Lambda^3}{V_2} - k_B T \ln \frac{N_2 \Lambda^3}{V} = k_B T \ln \frac{V}{V_2} \\ \mu_2(x_2) &\stackrel{\text{rovn.}}{=} \mu_2^{\text{id}}(V_2) = k_B T \ln \frac{\Lambda^3}{V_2} \end{aligned} \right\} \mu_{\text{res},2} = k_B T \ln \frac{N_2 \Lambda^3}{V_2} - k_B T \ln \frac{N_2 \Lambda^3}{V} = k_B T \ln \frac{V}{V_2}$$

kde  $V_2$  je objem odpovídající tlaku  $p_2$  (nezapomeň, že  $N_2 = 1$ ),

$$\frac{V_2}{V} = e^{-\beta\mu_{\text{res},2}} = \frac{N_2 k_B T}{p_2 V} = \frac{k_B T}{K_H x_2 V} = \frac{k_B T N_1}{K_H V} = \frac{k_B T \rho_1}{K_H}$$

kde  $\rho_1 = N_1/V$  = číselná hustota kapaliny (1). Nakonec:

$$K_H = \frac{\rho_1 k_B T}{e^{-\beta\mu_{\text{res},2}}} = \frac{\rho_1 k_B T}{\langle \langle e^{-\beta\Psi} \rangle_N \rangle_{\text{random}}}$$

## Reverzibilní práce integrací střední síly

34/37  
s07/4

+ 37/37  
s07/4

Z termodynamiky:

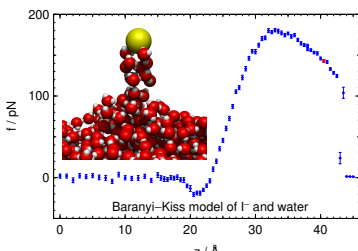
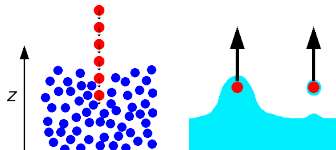
$$\Delta G = W_{\text{jiná než objemová}} [p, T]$$

$$\Delta\mu_i = - \int_{\vec{r}_{(1)}}^{\vec{r}_{(2)}} (\vec{f}_i) \cdot d\vec{r}_i$$

kde  $\vec{f}_i = -\partial U/\partial \vec{r}_i$  je síla působící na částici  $i$

Molekuly: integrujeme střední sílu na těžiště či vhodný referenční bod

Problém: hystereze



## Střední síla a její potenciál

Definujeme **jednočásticovou hustotu** (též se značí  $n_1$ ) v systému  $N$  identických částic:

$$\rho_1(\vec{r}_1) = \frac{N}{Q_N} \int e^{-\beta U(\vec{r}_1, \dots, \vec{r}_N)} d\vec{r}_2 \dots d\vec{r}_N$$

$-\rho_1(\vec{r}_1)d\vec{r}_1$  je pravděpodobnost nalezení částice (libovolné) v druhém místě

– rozšíření na směs:  $N/Q_N \rightarrow N_{\text{species}}/Q_N$

**Potenciál střední síly** je definován vztahem:

$$\bar{U}_1(\vec{r}_1) = -k_B T \ln[V\rho_1(\vec{r}_1)]$$

Odpovídající síla je

$$\vec{f}_1 = -\left( \frac{\partial \bar{U}_1}{\partial \vec{r}_1} \right) = k_B T \frac{\partial \rho_1 / \partial \vec{r}_1}{\rho_1} = \left\langle \left( \frac{\partial U}{\partial \vec{r}_1} \right) \right\rangle_{\vec{r}_2, \dots, \vec{r}_N} = \langle \vec{f}_1 \rangle_{\vec{r}_2, \dots, \vec{r}_N}$$

tj. je to skutečně střední síla na částici 1 držené v poloze  $\vec{r}_1$ .

Pozn.: Podobně z dvoučásticové rozdělovací funkce, což je pro páru částic v izotropní tekutině  $g(r)$ , dostaneme potenciál střední síly

$$\bar{U}_2(r) = -k_B T \ln[g(r)]$$

## Povrchová / mezifázová energie pevných látek

+ 36/37  
s07/4

**Cleaving** [Davidchack, Laird: JCP 118, 7651 (2003)]: Termodynamická integrace přes postupně rostoucí „níž“ (např. Gaussovský potenciál) vložený mezi krytalové roviny.

**Molding** [Espinosa, Vega, Sanz: JCP 141, 134709 (2014)]: Termodynamická integrace přes postupně rostoucí „formu“ (potenciálové jámy) nutící krytal růst v části systému.

• Obecný problém obou metod: hystereze

## Gibbsova energie krystalů

+ 37/37  
s07/4

• Einsteinův krystal<sup>¶</sup> jako reference, integrace přes zapojovací parametr za dané teploty [Frenkel, Ladd: JCP 81 3188 (1984), Frenkel, Mulder: Mol. Phys. 55, 1171 (1985)].

• Klasická metoda: harmonické vibrace za dané teploty jako reference, termodynamická integrace  $0 \rightarrow T$  [Kolafa: JCTC 15, 68 (2019) and citace tam uvedené]

<sup>¶</sup>nezávislé harmonické oscilátory, zde klasické

## Metoda lokální hustoty/koncentrace

+ 37/37  
s07/4

Nechť na rozpuštěně  $i$  působí vnější potenciál  $U_i^{\text{ext}}(\vec{r})$  (např. „gravitace“). V rovnováze:

$$\mu_i(\vec{r}) + U_i^{\text{ext}}(\vec{r}) = \text{const}$$

čili

$$\mu_i(\vec{r}_1) - \mu_i(\vec{r}_2) = -[U_i^{\text{ext}}(\vec{r}_1) - U_i^{\text{ext}}(\vec{r}_2)]$$

Určujeme koncentraci či hustotu v  $\vec{r}$ , znající chemický potenciál (vzhledem k jisté referenci)

**Příklad:**

• reference = approximace nekonečného zředění, tedy  $\gamma = 1$  v oblasti nízké koncentrace

• vypočteme aktivitní koeficient  $\gamma$  v oblasti vysoké koncentrace

